

## 청피에 함유된 복강 마크로파지의 탐식작용 억제 성분

은재순<sup>\*</sup> · 김대근 · 소준노<sup>\*</sup> · 지옥표<sup>\*\*</sup>

우석대학교 약학대학, \*자연과학대학, \*\*성균관대학교 약학대학

(Received October 23, 1998)

### A Suppressive Component on Phagocytosis of Murine Peritoneal Macrophage in *Aurantii immaturi pericarpium*

Jae-Soon Eun<sup>\*</sup>, Dae-Keun Kim, June-No So<sup>\*</sup> and Ok-Pyo Zee<sup>\*\*</sup>

College of Pharmacy,

\*College of Natural Science, Woosuk University, Samrye 565-701, Korea

\*\*College of Pharmacy, Sung Kyun Kwan University, Suwon 440-746, Korea

**Abstract**—The phagocytic activity of murine peritoneal macrophage was determined by lucigenin chemiluminescence and engulfment of fluorescein-conjugated *E. coli* particles. The activity-guided fractionation upon the methylenechloride fraction of *Aurantii immaturi pericarpium* led to the isolation of a flavonoid, isosinensetin, as a suppressive component of phagocytosis. Isosinensetin suppressed the lucigenin chemiluminescence and the engulfment of fluorescein-conjugated *E. coli* particles and enhanced the production of nitric oxide in murine peritoneal macrophage.

**Keywords** □ *Aurantii immaturi pericarpium*, Phagocytosis, Macrophage, Chemiluminescence, Iso-sinensetin, FITC-conjugated *E. coli*.

청피(*Aurantii immaturi pericarpium*)는 Rutaceae에 속하는 귤의 미성숙한 과피로써, 한방에서 理氣劑로 부르고 있으며,<sup>1)</sup> 약성이 준열하며 肝, 膽, 胃에 작용하여 疏肝破氣 및 散結化滯 작용이 있는 것으로 알려져 있다.<sup>2)</sup>

청피에 함유된 synephrine은 교감신경 흥분작용,<sup>3)</sup> nobiletin은 항알러지작용,<sup>4)</sup> auraptene, marmin, tangeritin은 암세포 증식억제작용<sup>5)</sup> 등이 있음이 보고되었다. 본 연구들은 macrophage의 탐식작용을 증강시키는 성분을 탐색하고자, 수종 생약에 대해 검색하던 중 청피 물추출물이 macrophage의 활성을 증가시킴을 확인하고,<sup>6)</sup> 청피에 함유된 macrophage의 활성 성분을 분리하던 중 methylenechloride 분획에서 복강 macrophage의 phagocytic activity가 현저히 억제됨을

발견하였다.

Macrophage의 탐식능은 lucigenin chemiluminescence(CL) 양을 측정하는 방법을 이용하였는데, CL은 luminol 또는 lucigenin에 의해 증가되며, luminol-dependent CL은 myeloperoxidase-H<sub>2</sub>O<sub>2</sub> system과 관련되어 있으나,<sup>7)</sup> lucigenin-dependent CL은 myeloperoxidase와는 관련이 없고 phagocytosis를 하는 동안 생성되는 superoxide와 관련이 있는 것으로 알려져 있다.<sup>8)</sup>

Mammalian neutrophils과 macrophages는 pseudopodia formation을 하는 동안 phagocytosing molecule의 cytoskeleton은 cytosolic G-actin monomers로부터 F-actin의 polymerization과 같은 구조적인 변화가 일어난다.<sup>9)</sup> 한편, nitric oxide는 human neutrophils의 F-actin 양을 감소시키고 phagosome에서 oxygen metabolites의 생성을 억제하여,<sup>10)</sup> murine macrophages의 pseudopodia formation과 phagocyto-

<sup>\*</sup> 본 논문에 관한 문의는 이 저자에게로

(전화) 0652-290-1569 (팩스) 0652-290-1567

sis를 억제하는 것으로 알려져 있다.<sup>11)</sup>

따라서 본 연구에서는 청피에 함유된 macrophage의 phagocytic activity 억제성분을 분리 정제하여 구조를 확인하였고, 이 성분이 macrophage의 nitric oxide 생성에 미치는 영향을 관찰하였다.

### 실험재료 및 방법

**실험재료** – 본 실험에 사용한 청피는 시중 전자상에서 구입하여 사용하였으며, 5 kg을 중류수로 실온에서 3일간 추출한 다음 여과하고 여액을 감압농축한 후, n-hexane, methylenechloride, n-BuOH 및 물로 각각 분획하여 각 분획물을 동결건조하여 분말을 얻어 실험에 사용하였다.

**실험동물** – 실험에 사용한 mouse는 BALB/c계 18±2 g 수컷을 대한실험동물에서 구입하여, 온도 22±2°C, 습도 55±5%, light/dark 12시간의 사육조건에서 1주일 이상 적응시킨 후 사용하였으며, 고형사료와 물을 자유스럽게 섭취하도록 하였다.

**시약 및 기구** – DME(without phenol red), RPMI1640, zymosan, lucigenin은 Sigma Co., FBS, trypsin, thioglycollate는 Difco Co., FITC-conjugated *E. coli* K-12 bio-particles는 Molecular Probes Co.를 사용하였으며, 기타 시약은 세포배양용 및 1급 시약을 사용하였다. 사용기구는 96 well plate(white, Berthold), CO<sub>2</sub> incubator(Vision scientific Co.), luminometer(Berthold 96LP), inverted fluoromicroscope(Zeiss), melting point(uncorrected, Buchi), mass spectrophotometer(VG70-VSEQ UK), IR spectrophotometer(Nicolet model 205 FT-IR), UV-visible spectrophotometer(Shimadzu) 및 NMR spectrometer(Bruker AMX 400)를 사용하여 측정하였다.

**복강 macrophage의 분리** – 멸균한 3% thioglycollate 2 ml를 복강에 투여하고 3일 후 마우스를 경추탈골하여 도살한 다음 복강에 cold PBS 10 ml를 주입하여 복강세포를 수집하고, 4°C에서 1,300 rpm으로 10분간 원심분리하여 RPMI1640 배지로 2회 세척한 후, 직경 120 mm petri dish에 분주하여 CO<sub>2</sub> incubator에서 배양한 다음, 2 시간 후에 부착되지 않은 세포를 제거하고 부착한 세포만을 cell scraper로 모아 macrophage로 사용하였다.

### 복강 macrophage의 lucigenin chemiluminescence 측정

분리한 복강 macrophage를 DME(without phenol red) 배지에 부유시켜 측정용 96 well microplate(white)의 각 well 당 1×10<sup>6</sup> cells씩 분주하고, 회석된 각 sample 50 μl와 lucigenin 용액 50 μl를 넣고 37°C에서 15 분간 전처리한 후 zymosan 용액 30 μl를 첨가하여 5 분 간격으로 60 분 동안 lucigenin chemiluminescence(CL)를 luminometer를 이용하여 37°C에서 측정하였다.<sup>12,13)</sup>

### 복강 macrophage의 phagocytosis에 의한 engulfment 측정

FITC-conjugated *E. coli* particles을 HBSS에 혼탁시켜 sonification 한 후 사용하였으며, trypan blue는 citrate buffer(pH 4.4)에 250 μg/ml 농도로 용해하여 사용하였다. 분리한 macrophage를 RPMI1640 배지로 5×10<sup>5</sup> cells/ml 되도록 조정한 후, 100 μl를 96 well에 분주하고 1 시간 동안 CO<sub>2</sub> incubator에서 배양하였다. 배양 후 배지를 제거하고, sample 10 μg/ml 및 *E. coli* 혼탁액 25 μl를 가하여 1 시간 동안 배양한 다음 배양액을 제거하고 extracellular fluorescence를 억제하기 위해 trypan blue 100 μl를 첨가하여 inverted fluoromicroscope로 관찰하였다.<sup>14)</sup>

**복강 macrophage의 nitric oxide의 측정** – 분리한 macrophage를 24 well plate에 well당 1×10<sup>6</sup> cells을 분주한 후, 각 well에 LPS 1 μg/ml와 γ-IFN 25 units/ml를 첨가하지 않은 군과 첨가한 군으로 분류하여 37°C CO<sub>2</sub>-incubator에서 24 시간 배양한 후 생성된 nitric oxide(NO)양을 Griess 시약으로 측정하였다.<sup>15)</sup> 즉 배지 100 μl와 Griess reagent(1% sulfanilamide+0.2% N-Naphthylethylenediamine 2HCl+2.5% H<sub>3</sub>PO<sub>4</sub>) 100 μl를 혼합하여 96 well plate에 넣고 570 nm에서 microplate reader로 흡광도를 측정하여 미리 작성한 NaNO<sub>2</sub>의 검량선에 의해 NO 양을 측정하였다.

**활성물질 분리** – 활성을 나타낸 methylenechloride액 3 g을 n-hexane : EtOAc(3:1)을 유출용매로 silica gel chromatography를 실시하여 8개의 분획으로 나누었으며, 각 분획에 대하여 macrophage의 phagocytic activity를 측정한 결과 7번 분획에서 높은 활성을 나타냈다. 7번 분획을 n-hexane : chloroform : MeOH(10:10:1)을 유출용매로 silica gel column chromatography를 실시하고 Sephadex LH 20 column으로 정제하여 흰색 침상결정(chloroform) com-

pound I, 17 mg을 얻었다.

**Compound I** – colorless needles(MeOH); mp 196~197°C; UV $\lambda$ max(MeOH) 240, 275, 335; EIMS *m/z*(70eV, rel. int.) 372(M<sup>+</sup>, 70), 357 (100); <sup>1</sup>H-NMR(400 MHz, CDCl<sub>3</sub>) δ: 7.59(1H, dd, *J*=8.3, 2.0Hz, H-6'), 7.42(1H, d, *J*=2.0Hz, H-2'), 6.99 (1H, d, *J*=8.3Hz, H-5'), 6.62(1H, s, H-3), 6.44 (1H, s, H-6), 4.01, 3.99, 3.98, 3.96(each 3H, s, OCH<sub>3</sub>), 3.96(6H, s, OCH<sub>3</sub>×2); <sup>13</sup>C-NMR(100 MHz, CDCl<sub>3</sub>) δ: 177.9(C-4), 160.5(C-2), 156.5(C-7), 156.4 (C-9), 152.0(C-5), 151.8(C-4'), 149.3(C-3'), 130.7 (C-8), 124.1(C-1'), 119.6(C-6'), 111.2(C-5'), 109.0 (C-10), 108.6(C-2'), 107.2(C-3), 92.5(C-6).

## 결과 및 고찰

**Phagocytic activity 효과** – 청피 물추출물을 n-hexane, methylenechloride, n-BuOH 및 물로 분획하여 CL을 측정한 결과 methylenechloride 분획에서 CL이 현저히 감소되었다. Methylenecloride 분획에 함유된 CL 감소 성분을 정제하고자, n-hexane : EtOAc(3 : 1)을 유출용매로 silica gel column chromatography로 분리하여 8개의 소분획을 얻은 후 CL을 측정한 결과 7번 소분획에서 감소되었다. 7번 소분획을 n-hexane : chloroform : MeOH(10 : 10 : 1)을 유출용매로 silica gel column chromatography를 실시하고 Sephadex LH 20 column으로 정제하여 단일 성분을 얻어, 각종 spectral data를 이용하여 구조를 확인한 결과 isosinensetin<sup>[16]</sup>임을 확인하였다(Fig. 1). Isosinensetin을 처리시 CL은 농도의존적으로 감소되었으며, 이때 IC<sub>50</sub>은 23.6 μg/ml이었다(Fig. 2). 또한

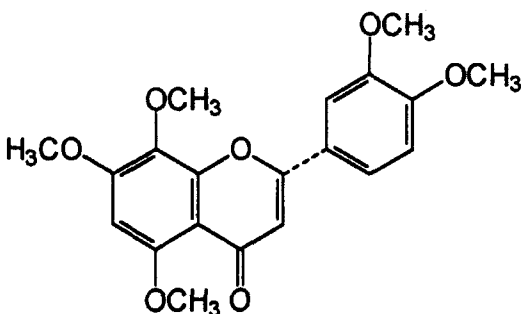


Fig. 1. Structure of compound I.

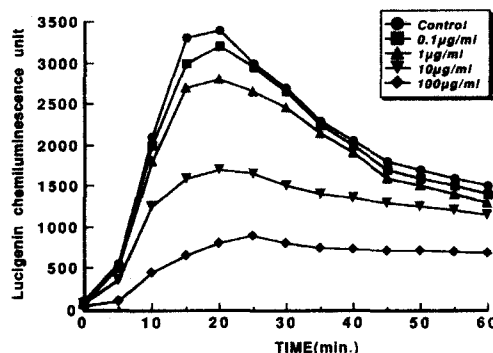


Fig. 2. Effect of isosinensetin on lucigenin chemiluminescence in murine peritoneal macrophages. The macrophages obtained after 2 hrs. adherence period were cultured in RPMI1640 media mixed with isosinensetin and opsonized zymosan. The chemiluminescence was measured at 5 min. intervals for 60 min. Other procedures were described as detailed materials and method section. The data represents the mean of 5 experiments.

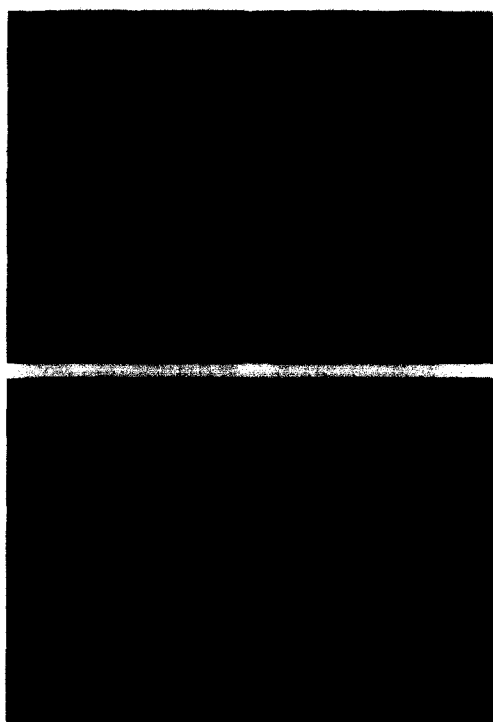


Fig. 3. Photomicrographs of the engulfment of fluorescein-conjugated *E. coli* particles in murine peritoneal macrophages treated with isosinensetin (10 μg/ml). Photographs (taken at 400X magnification) showing the uptake of fluorescein conjugated *E. coli* particles in control (A) and the macrophages treated with isosinensetin (B). The macrophages were observed with an inverted fluoromicroscope.

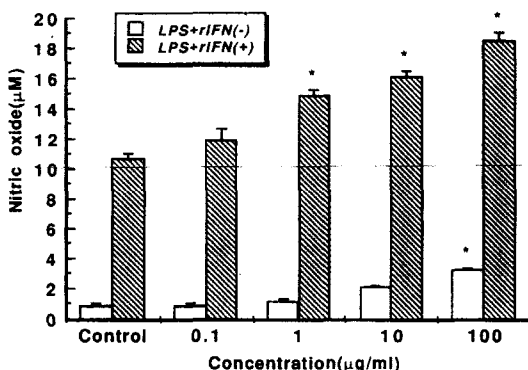


Fig. 4 — Effect of isosinensetin on nitric oxide production of murine peritoneal macrophages.

Thioglycollate(3%) was injected i.p. for 3 days and the macrophages obtained after 2 hrs. adhesion period were cultured in RPMI1640 media with isosinensetin, LPS and  $\gamma$ -IFN. Each bar represents the mean  $\pm$  SE from 5 experiments.

\* Significantly different from control group ( $p<0.01$ ).

FITC-conjugated *E. coli* particles을 이용하여 isosinensetin 처리시 복강 macrophage의 펌핑성이 현저히 감소됨을 확인하였다(Fig. 3).

**Nitric oxide 생성 효과** — Isosinensetin은 macrophage에 LPS와  $\gamma$ -IFN을 처리하지 않았을 때는 100  $\mu\text{g/ml}$ 에서 nitric oxide의 생성을 증가시켰고, LPS와 -IFN를 처리하였을 때는 1  $\mu\text{g/ml}$  이상에서 nitric oxide의 생성을 증가시켰다(Fig. 4). Nitric oxide는 murine macrophages의 pseudopodia formation과 phagocytosis를 억제한다는 Jun 등<sup>11)</sup>의 보고와 비교하였을 때, 본 실험의 결과만으로 isosinensetin에 의한 phagocytosis의 억제가 nitric oxide의 생성이 촉진된 결과라고 단정할 수는 없지만 nitric oxide가 일부 관여하고 있을 가능성성이 있다고 추정된다.

## 결 론

청피에 함유된 isosinensetin은 murine peritoneal macrophage로부터 nitric oxide의 생성을 촉진하였으며 phagocytic activity를 억제하였다.

## 감사의 말씀

본 논문은 1998년도 우석대학교 학술연구조성비에 의하여 연구되었으며 이에 감사드립니다.

## 문 헌

- 韓國生藥學教授協議會 : 本草學. p. 428, 서울 (1995).
- 辛民教 : 原色臨床本草學. 南山堂. p. 380, 서울 (1986).
- Kinoshita, T., Sameshita, M. and Sankawa, U. : Isolation of a sympathomimetic substance from chinese medicinal drugs originated from Citrus species. *Shoyakugaku Zasshi*. **33**, 146 (1979).
- Chun, Y. T. and Sankawa, U. : Screening of anti-allergic effect in traditional medicinal drugs and active constituents of Aurantii Fructus Immaturus. *Shoyakugaku Zasshi*. **43**(4), 314 (1989).
- Satoh, Y., Tashiro, S., Satoh, M., Fujimoto, Y., Xu, J-Y and Ikekawa, T. : Studies on the bioactive constituents of Aurantii Fructus Immaturus. *Yakugaku Zasshi*. **116**(3), 244 (1996).
- Yum, J. Y. and Eun, J. S. : Effect of Aurantii nobilis pericarpium and Aurantii immaturi pericarpium on Immunocytes in mice. *Kor. J. Pharmacogn.*, **29**(3), 173 (1998).
- Breihelm, G., Stendahl, O. and Dahlgren, C. : Intra- and extracellular events in luminol-dependent chemiluminescence of polymorphonuclear leukocytes. *Infect. Immun.* **45**, 1 (1984).
- Channon, J. Y., Leslie, C. C. and Johnston, Jr., R. B. : Zymosan-stimulated production of phosphatidic acid by macrophages: relationship to release of superoxide anion and inhibition by agents that increase intracellular cyclic AMP. *J. Leukocyte Biol.* **41**, 450 (1987).
- Sheterline, P. and Rickard, J. E. : The cortical actin filament network of neutrophil leukocytes during phagocytosis and chemotaxis. *CRC Press, Boca Raton, FL*, pp. 141-165 (1989).
- Forslund, T. and Sundqvist, T. : Nitric oxide-releasing particles inhibit phagocytosis in human neutrophils. *Biochem. and Biophysical Research Communications*. **233**, 492 (1997).
- Jun, C. D., Park, S. K., Kim, J. M., Kim, J. D. and Chung, H. T. : Nitric oxide inhibits macrophage pseudopodia formation in the activated macrophages. *Korean. J. Immunol.* **18**, 635 (1998).

- (1996).
- 12) Blair, A. L., Cree, I. A., Beck, J. S. and Hating, M. J. G. : Measurement of phagocyte chemiluminescence in a microtiter plate format. *J. Immunol. Methods*, **112**, 163 (1988).
  - 13) Boudard, F., Vallot, N., Cabaner, C. and Bastide, M. : Chemiluminescence and nitrite determinations by the MALU macrophage cell line. *J. Immunol. Methods*, **174**, 259 (1994).
  - 14) Chok, P. W., Choon, S. P. and Benjamin, H. S. : A rapid and simple microfluorometric phagocytosis assay. *J. Immuno. Methods*, **162**, 1 (1993).
  - 15) Rockett, K. A., Awburn, M. M., Cowden, W. B. and Clark, I. A. : Killing of Plasmodium falciparum in vitro by nitric oxide derivatives. *Infect. Immunity*, **59**(9), 3280 (1991).
  - 16) Machida, K. and Osawa, K. : On the Flavonoid Constituents from the Peels of Citrus hassaku Hort. ex Tanaka. *Chem. Pharm. Bull.*, **37**, 1092 (1989).